

## SVEOBUHVATNA ANALIZA MALIH VODA NA SREDNJIM I MALIM SLIVOVIMA REPUBLIKE SRBIJE JUŽNO OD SAVE I DUNAVA

Stevan PROHASKA<sup>1</sup>, Jasna PLAVŠIĆ<sup>2</sup>, Samir ĆATOVIĆ<sup>3</sup>, Vladislava BARTOŠ DIVAC<sup>1</sup>, Ognjen PROHASKA<sup>1</sup>, Aleksandra ILIĆ<sup>4</sup>, Srđan MARJANOVIĆ<sup>3</sup>, Dragutin PAVLOVIĆ<sup>2</sup>

<sup>1</sup> Institut za vodoprivredu „Jaroslav Černi“, Beograd

<sup>2</sup> Univerzitet u Beogradu – Građevinski fakultet

<sup>3</sup> Republički hidrometeorološki zavod Srbije, Beograd

<sup>4</sup> Univerzitet u Nišu – Građevinsko-arhitektonski fakultet

### REZIME

Ideja ovoga rada je da prikaže osnovne rezultate sprovedene sveobuhvatne analize malih voda na teritoriji Republike Srbije, južno od Save i Dunava, preuzete iz buduće monografije „Prosečni protoci i male vode na srednjim i malim slivovima Srbije”, čija je izrada u toku. Ovu monografiju zajedno realizuju Institut za vodoprivredu „Jaroslav Černi” i Republički hidrometeorološki zavod Srbije, uz učešće Građevinskog fakulteta iz Beograda i Građevinsko-arhitektonskog fakulteta iz Niša. U radu su prikazane kvantitativne karakteristike malih voda, koje se najčešće koriste kao podloga u projektovanju većine vodoprivrednih i hidrotehničkih objekata, a pre svega za ocenu „minimalnog održivog protoka”, koji se po važećem Zakonu o vodama mora neprikosnoveno ostaviti u reci za potrebe održavanja biocenoze i zadovoljenje potreba nizvodnih korisnika. U konkretnom slučaju prikazuju se najbitniji rezultati ocene višegodišnjih proseka srednje godišnjeg protoka, krivih trajanja srednje dnevnih protoka i obezbeđenosti minimalnih srednje mesečnih protoka. Posebno su detaljno analizirani kvantitativni pokazatelji dužina malovodnih perioda ispod protoka sa odabranim trajanjem, određenih sa krivih trajanja dnevnih protoka. Primenjen je novi prilaz koji obuhvata, pored klasične probabilističke analize minimalnih godišnjih i minimalnih srednjih mesečnih protoka, i sveobuhvatnu analizu neprekidnih trajanja malih voda ispod protoka karakterističnih trajanja, njihove unutargodišnje raspodele i procentualne zastupljenosti. Bazni podaci korišćeni pri izradi ove analize, zvanični su podaci Republičkog hidrometeorološkog zavoda sa 82 profila hidroloških stanica na srednjim i malim slivovima na teritoriji Srbije, južno od Save i Dunava. Pri tome su

korišćene sve raspoložive vremenske serije srednjednevnih i minimalnih godišnjih protoka. Periodi obrade su bili od početka rada određene hidrološke stanice, do zaključno sa 2018. godinom.

**Ključne reči:** male vode, minimalni godišnji protoci, minimalni srednjemesečni protoci, malovodni periodi, trajanje malovodnih perioda, statistička analiza

### 1. UVODNE NAPOMENE

Predmet istraživanja ovoga rada je sveobuhvatna analiza karakteristika malih voda bitnih sa stanovišta vodosnabdevanja, zaštite kvaliteta voda, navodnjavanja i proizvodnje hidroenergije. To se, pre svega, odnosi na mero-davne karakteristike malih voda potrebne za ocenu minimalnog održivog protoka koji se nizvodno od vodozahvata mora obezbediti u vodotoku za opstanak i razvoj nizvodnih biocenoza i zadovoljavanje potreba nizvodnih korisnika. Osim toga, za navedene korisnike veoma su interesantne analize sušnih perioda, odnosno maksimalnih trajanja malovodnih perioda ispod protoka karakterističnih trajanja. Ovim karakteristikama malih voda, nažalost, u dosadašnjoj našoj hidrološkoj praksi nije posvećivano dovoljno pažnje. Većina do sada izvršenih analiza malih voda u našoj zemlji, a i šire u svetu, obuhvatala je samo statističko-probabilističke analize serija minimalnih godišnjih i minimalnih srednjih mesečnih protoka i proračun trajanja malih voda. U ovom radu autori su primenili jedan novi prilaz koji, osim klasične probabilističke analize minimalnih godišnjih i minimalnih srednjih mesečnih protoka, obuhvata i sveobuhvatnu analizu neprekidnih trajanja malih voda ispod protoka karakterističnih trajanja, njihove unutargodišnje raspodele i procentualne zastupljenosti.

Bazni podaci koji su korišćeni za proračun malih voda, zvanični su podaci Republičkog hidrometeorološkog zavoda Srbije sa hidroloških stanica za 82 slivne područja južno od Save i Dunava, čije su slivne površine manje od 1.000 km<sup>2</sup>. U vezi sa ovim, korišćene su raspoložive vremenske serije srednjednevnih i minimalnih godišnjih protoka na hidrološkim stanicama RHMZ Srbije. Periodi obrade su bili različiti, od početka rada određene hidrološke stanice, zaključno sa 2018. godinom.

Rad na ovom projektu svestrano je podržao RHMZ Srbije, obezbeđujući zvanične podatke, a sa Institutom „Jaroslav Černi“ učestvovaće u zajedničkom izdavanju mnogo šire monografije „Prosečni protoci i male vode Srbije na srednjim i malim slivovima južno od Save i Dunava“. Pojedini eksperti iz RHMZ-a učestvuju u realizaciji celokupnog projekta, zajedno sa nekoliko eksperata sa Građevinskog fakulteta u Beogradu i Građevinsko-arkitektonskog fakulteta u Nišu.

## 2. PRIMENJENA PROCEDURA PRORAČUNA OSNOVNIH KARAKTERISTIKA MALIH VODA

Procedura sveobuhvatnog definisanja osnovnih karakteristika malih voda sastojala se u sledećem:

- Iz navedene baze dnevnih podataka sračunate su serije srednjemesečnih protoka iz kojih su izdvojene serije minimalnih srednjemesečnih protoka.
- Serije minimalnih godišnjih protoka preuzete su direktno iz baze hidroloških podataka RHMZ Srbije.
- Na osnovu serija dnevnih protoka sračunate su krive trajanja dnevnih protoka koje su bile osnova za definisanje repernih protoka  $Q(\Theta(\%))$  određenog trajanja  $\Theta(\%)$ .
- Za karakteristične (reperne) protoke  $Q(\Theta(\%))$ , sa krivih trajanja dnevnih protoka, određene su dužine perioda  $D(T)$  u danima, tokom kojih su protoci u reci  $Q(t)$  manji od repernih  $Q(\Theta(\%))$ , tj.:

$$D(T) = \sum_{t_p}^{t_k} \{Q(t) \leq Q(\Theta(\%))\}$$

gde je  $t_p$  – početni trenutak kada je  $Q(t) \leq Q(\Theta(\%))$  i  $t_k$  – krajnji trenutak kada je  $Q(t) \leq Q(\Theta(\%))$ . U konkretnom slučaju, za reperne protoke odabранe su odgovarajuće vrednosti sa krivih trajanja dnevnih protoka za trajanja  $\Theta(\%) = 50, 60, 70, 80, 90$  i  $95\%$ .

- Za sva naznačena trajanja ekstrahovane su serije ukupnih i maksimalnih godišnjih trajanja

malovodnih perioda ispod prikazanih repernih protoka,  $D_{\max}(T)$ , po godinama.

- Posebno su ekstrahovane serije maksimalnih trajanja malovodnih perioda po godinama (od – do dana).
- Unutarnji raspodele maksimalnih trajanja malovodnih perioda (u danima) definisane su za odabранe različite reperne protoke sa krive trajanja protoka  $Q(\Theta(\%))$ .
- Na osnovu ekstrahovane serije maksimalnih trajanja malovodnih perioda po godinama, sračunate su prosečne višegodišnje vrednosti učestalosti broja dana sa maksimalnim trajanjima malovodnih perioda i njihove odgovarajuće integralne (sumarne) krive zastupljenosti.
- Na osnovu integralnih krivih zastupljenosti definisani su intervali poverenja IP-90%, IP-80% i IP-50% unutar kojih se, sa navedenim verovatnoćama, može očekivati pojave malovodnih perioda.

Za sve definisane serije minimalnih srednjemesečnih protoka, zatim minimalnih godišnjih protoka, kao i za serije maksimalnih godišnjih trajanja malovodnih perioda (u danima) sračunate su verovatnoće pojave. Pri tome su korišćeni sledeći zakoni raspodele: Pirsonov III tipa, log-Pirsonov III tipa, Gumbelov, dvoparametarski Vejbulov, troparametrski log-normalni i dvoparametarski log-normalni. Kvalitet prilagođavanja je testiran pomoću  $\chi^2$  testa, testa Kolmogorov–Smirnov i no<sup>2</sup> testa. Usvojene su one raspodele koje su prema sprovedenim testovima saglasnosti dale najprihvatljivije rezultate.

Svi navedeni proračuni urađeni su za sve 82 hidrološke stанице RHMZ Srbije, južno od Save i Dunava. Zbirni (uprosečeni) rezultati dati su za posebno analizirane podslivove: Velike Morave, Drine, Dunava, Egejskog mora, Zapadne Morave, Južne Morave, Kolubare, Nišave, Timoka i Toplice. Takođe su urađeni i svi zbirni rezultati za razmatranu teritoriju Srbije, južno od Save i Dunava.

## 3. PRIKAZ REZULTATA PRORAČUNA OSNOVNIH KARAKTERISTIKA MALIH VODA NA RAZMATRANOJ TERITORIJI REPUBLIKE SRBIJE

Zbog obimnosti rezultata proračuna (82 hidrološke stанице), u ovom radu detaljniji rezultati prikazuju se samo za jednu proizvoljno odabranu hidrološku stanicu Jagodinu na reci Belici, u podslivu Velike Morave. Najbitniji rezultati sprovedene sveobuhvatne analize

malih voda prikazuju se redosledom kako je to definisano u prethodnom poglavlju.

Za serije minimalnih srednjemesečnih i minimalnih godišnjih protoka u tabeli 1 prikazani su rezultati izvršenih statističkih obrada, tj. statističkih parametara: srednje vrednosti, standardne devijacije  $\sigma$ , koeficijenta varijacije  $C_v$ , koeficijenta asimetrije  $C_s$  i ekstremnih minimalnih i maksimalnih vrednosti.

Tabela 1. Prikaz statističkih parametara serije minimalnih srednjemesečnih i minimalnih godišnjih protoka reke Belice u profilu h.s. Jagodina

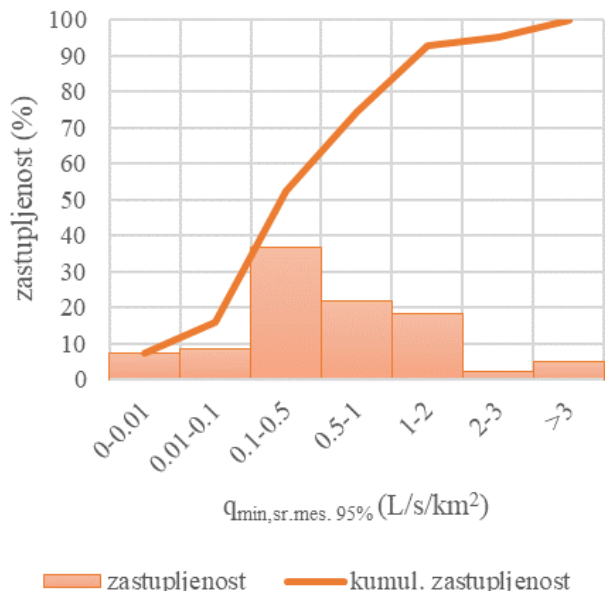
| Promenljiva                              | $Q_{\min, \text{sr. mes}}$ | $Q_{\text{aps. min. god}}$ |
|--|----------------------------|----------------------------|
| Sred. vrednost ( $\text{m}^3/\text{s}$ ) | 0.120                      | 0.059                      |
| $\sigma$                                 | 0.131                      | 0.077                      |
| $C_v$                                    | 1.103                      | 1.299                      |
| $C_s$                                    | 1.240                      | 1.278                      |
| $Q_{\min} (\text{m}^3/\text{s})$         | 0                          | 0                          |
| $Q_{\max} (\text{m}^3/\text{s})$         | 0.555                      | 0.278                      |

Za karakteristike malih voda koje se najčešće primenjuju u našoj hidrotehničkoj praksi za određivanje „minimalnog održivog protoka“, a to su srednjemesečni protoci obezbeđenosti 95% i srednji godišnji protoci verovatnoće 10%, urađeni su kumulativni prikazi za celu razmatranu teritoriju Republike Srbije, južno od Save i Dunava. U konkretnom slučaju navedene karakteristične vrednosti su, zbog mogućnosti prostornog usaglašavanja, iskazane u vidu specifičnog oticaja  $q$  ( $\text{L}/\text{s}/\text{km}^2$ ).

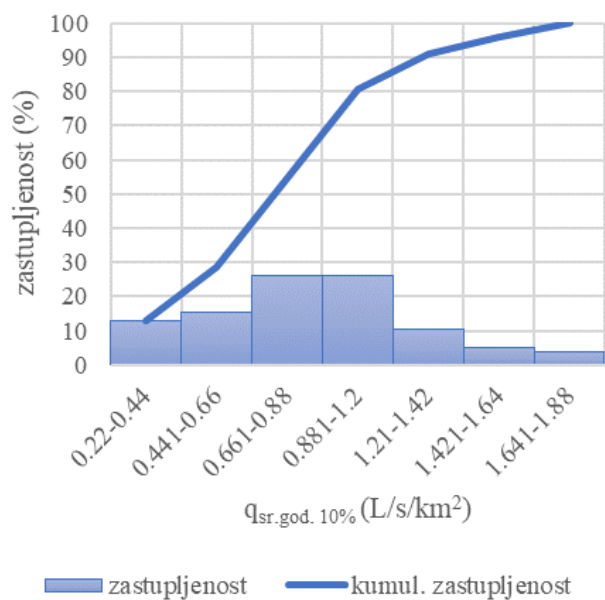
Zbirni rezultati učestalosti specifičnog oticaja  $q$  ( $\text{L}/\text{s}/\text{km}^2$ ) navedenih merodavnih karakteristika malih voda za ocenu „minimalno održivog protoka“ prikazani su u tabelama 2 i 3 za celu razmatranu teritoriju Republike Srbije južno od Save i Dunava, a u vidu procentualne učestalosti broja hidroloških stanica (Br. h.s.) u funkciji specifičnog oticaja  $q$ .

Grafički prikaz učestalosti i kumulativne (integralne) zastupljenosti navedenih karakteristika malih voda dat je na slikama 1 i 2.

Prostorne raspodele osnovnih karakteristika merodavnih malih voda za ocenu „minimalno održivog protoka“ na razmatranom dela sliva na teritoriji Republike Srbije južno od Save i Dunava, prikazani su na kartama na slikama 3 i 4. Na slici 3 dat je prostorni prikaz specifičnog oticaja minimalnih srednjih mesečnih protoka obezbeđenosti 95%, a na slici 4 odgovarajući prikaz prostorne raspodele specifičnog oticaja srednjegodišnjih protoka verovatnoće 10%.



Slika 1. Učestalost specifičnog oticaja minimalnih srednjih mesečnih protoka obezbeđenosti 95% na teritoriji Republike Srbije južno od Save i Dunava po klasama i kumulativno



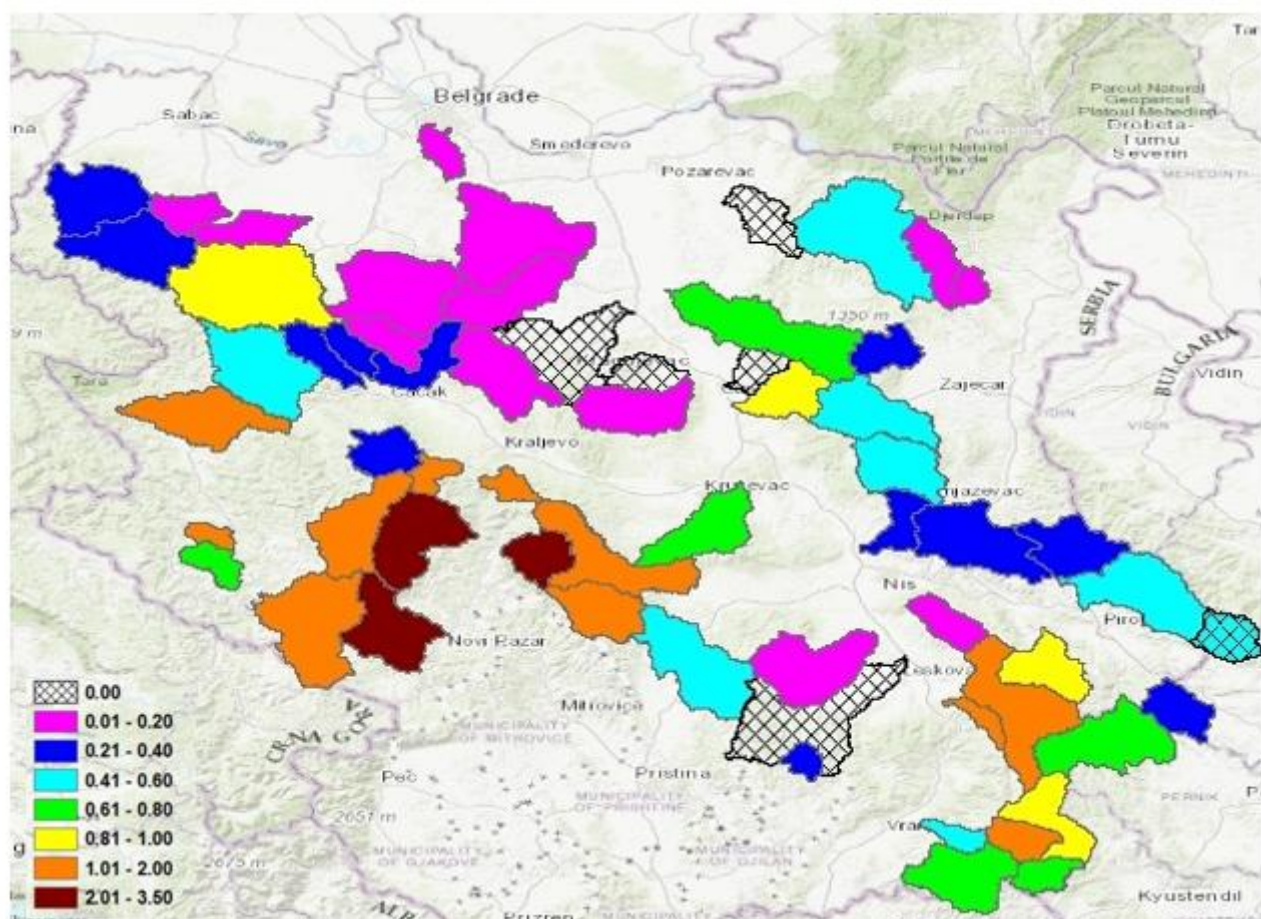
Slika 2. Učestalost specifičnog oticaja srednjih godišnjih protoka verovatnoće 10% na teritoriji Republike Srbije južno od Save i Dunava

Tabela 2. Učestalost broja hidroloških stanica u funkciji specifičnog oticaja minimalnih srednjih mesečnih protoka obezbeđenosti 95% na teritoriji Republike Srbije južno od Save i Dunava

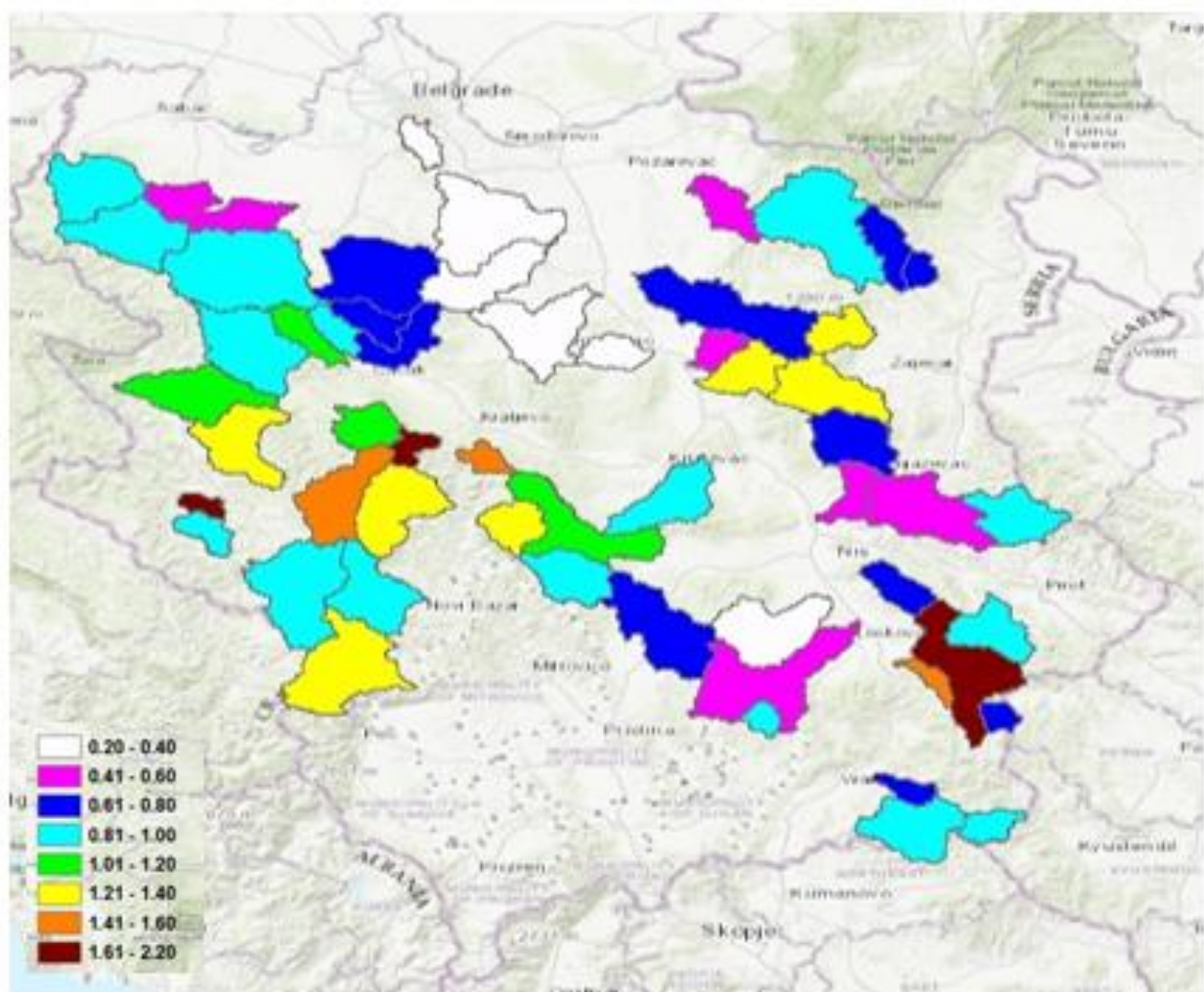
|            | $q_{\min, \text{sr.mes}} (\text{L/s/km}^2)$ |          |         |       |       |       |      |          |      |       |      |
|------------|---|----------|---------|-------|-------|-------|------|----------|------|-------|------|
|            | 0-0,01                                      | 0,01-0,1 | 0,1-0,5 | 0,5-1 | 1-2   | 2-3   | >3   | $\Sigma$ | min. | sred. | max. |
| Br. h.s.   | 6   | 7        | 30      | 18    | 15    | 2     | 4    | 82       | 0    | 0,74  | 3,39 |
| %          | 7,31  | 8,54     | 36,59   | 21,95 | 18,29 | 2,44  | 4,88 | 100      |      |       |      |
| $\Sigma\%$ | 7,31  | 15,85    | 52,44   | 74,39 | 92,68 | 95,12 | 100  |          |      |       |      |

Tabela 3. Učestalost broja hidroloških stanica u funkciji specifičnog oticaja srednjeg godišnjeg protoka verovatnoće 10% na teritoriji Republike Srbije južno od Save i Dunava

|            | $q_{\text{sr.god.10\%}} (\text{L/s/km}^2)$ |            |            |           |             |            |            |          |      |       |       |
|------------|--|------------|------------|-----------|-------------|------------|------------|----------|------|-------|-------|
|            | 0,22–0,44                                  | 0,441–0,66 | 0,661–0,88 | 0,881–1,2 | 1,21 – 1,42 | 1,421–1,64 | 1,641–1,88 | $\Sigma$ | min. | sred. | max.  |
| Br. h.s.   | 10   | 12         | 20         | 20        | 8           | 34         | 3          | 77       | 0,23 | 0,89  | 1,772 |
| %          | 12,99                                      | 15,58      | 25,97      | 25,97     | 10,39       | 5,20       | 3,90       | 100      |      |       |       |
| $\Sigma\%$ | 12,99                                      | 28,57      | 54,54      | 80,51     | 90,90       | 96,09      | 100        |          |      |       |       |



Slika 3. Prostorni prikaz specifičnog modula minimalnih srednjih mesečnih protoka obezbeđenosti 95% razmatranih slivova na teritoriji Republike Srbije južno od Save i Dunava



Slika 4. Prostorni prikaz specifičnog oticaja 10%-nih srednjegodišnjih protoka razmatranih slivova na teritoriji Republike Srbije južno od Save i Dunava

Uočava se velika prostorna heterogenost u formiranju malih voda na teritoriji Republike Srbije južno od Save i Dunava. Po absolutnim vrednostima navedenih modula oticaja, veću neravnomernost pokazuju moduli minimalnog srednjeg mesečnog protoka obezbeđenosti 95% (od 0 do  $3 \text{ L/s/km}^2$ ) u odnosu na module srednjegodišnjih protoka verovatnoće 10% (od 0,22 do  $1,88 \text{ L/s/km}^2$ ). Međutim, sa verovatnoćom od 90% može se očekivati da se moduli minimalnog srednjeg mesečnog protoka 95%-ne obezbeđenosti kreću u intervalu od 0,05 do  $1,5 \text{ L/s/km}^2$ , a moduli srednje godišnjih protoka 10%-ne verovatnoće od 0,33 do  $1,3 \text{ L/s/km}^2$ .

Sledeća karakteristika malih voda koja je veoma bitna sa gledišta vodosnabdevanja i zaštite voda je

maksimalno neprekidno trajanje malovodnih perioda ispod unapred definisanih repernih protoka sa krivih trajanja dnevnih protoka verovatnoće trajanja  $\Theta(\%)$ . Korišćenjem izložene procedure za sve razmatrane slivove (82 hidrološke stanice), definisane su, između ostalih, serije maksimalnih godišnjih neprekidnih trajanja malovodnih perioda za različite vrednosti repernih protoka sa krivih trajanja dnevnih protoka za trajanja  $\Theta(\%) = 50, 60, 70, 80, 90$  i  $95\%$ . Za sve ove serije sračunate su verovatnoće njihove pojave, a rezultati proračuna u ovom radu prikazani samo za jednu proizvoljno odabranu hidrološku stanicu Jagodina na reci Belici. Numerički prikaz verovatnoće maksimalnih godišnjih neprekidnih trajanja malovodnih perioda  $D(T)_{\max}$  dat je u tabeli 4.

Unutargodišnja zastupljenost pojave maksimalnih neprekidnih trajanja malovodnih perioda, za različite reperne protoke, prikazana je u tabeli 5 preko prosečnih višegodišnjih vrednosti broja dana, kao i preko njihove integralne krive procentualne zastupljenosti. Grafičke interpretacije ovih pokazatelja prikazane su na sl. 5.

Na osnovu prikazanih integralnih krivih zastupljenosti (numerički i grafički), definisani su intervali poverenja IP-90%, IP-75% i IP-50% unutar kojih se sa navedenim verovatnoćama može očekivati pojava malovodnih perioda. Definisani intervali poverenja predstavljaju prosečne vrednosti prikazanih integralnih krivih za razmatrana trajanja repernih protoka. Ovi rezultati su prikazani u tabeli 6.

Kumulativni pregled prosečnih višegodišnjih vrednosti intervala poverenja pojave malovodnih perioda za podsliv Velike Morave prikazan je u tabeli 7.

Unutargodišnja zastupljenost pojave maksimalnih trajanja malovodnih perioda za različite reperne protoke  $Q(\Theta)$ , predstavljena je preko prosečnih višegodišnjih vrednosti broja dana sa protocima ispod repnih po mesecima i preko procentualne zastupljenosti po mesecima u odnosu na celu godinu sračunata je za sve razmatrane hidrološke stanice. Na osnovu njih formirane su integralne krive procentualne zastupljenosti broja malovodnih dana tokom godine. Ove krive su zatim osrednjene za deset razmatranih slivova, odnosno za teritoriju Republike Srbije južno od Save i Dunava.

Tabela 4. Prikaz verovatnoća maksimalnih godišnjih neprekidnih trajanja malovodnih perioda reke Belice za h.s. Jagodina za različite vrednosti repnih protoka  $\Theta(\%)$

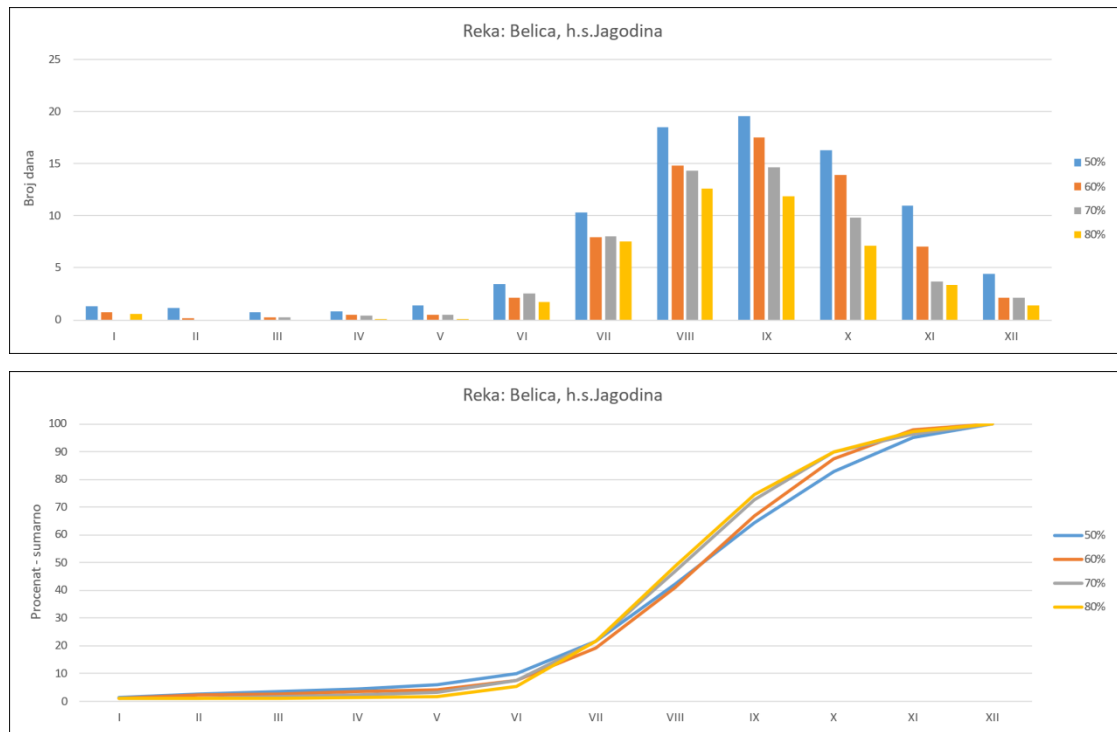
| $Q(\Theta(\%))$<br>(m <sup>3</sup> /s) |      | Maksimalna neprekidna trajanja malovodnih perioda $D(T)_{\max}$ (dani) za verovatnoću pojave $p$ |      |     |     |    |    |      |    | Tip raspodele    |  |
|--|------|--|------|-----|-----|----|----|------|----|------------------|--|
|  |      | $p (\%)$   |      |     |     |    |    |      |    |                  |  |
|  |      | 1  | 2    | 5   | 10  | 50 | 80 | 90   | 95 |                  |  |
| $Q(50\%)$                              | 0,30 | 261  | 231  | 199 | 168 | 78 | 38 | 234  | 15 | Vejbulova 2-par. |  |
| $Q(60\%)$                              | 0,24 | 225  | 201  | 167 | 135 | 61 | 28 | 17   | 10 | Vejbulova 2-par. |  |
| $Q(70\%)$                              | 0,18 | 222  | 1,96 | 160 | 130 | 52 | 22 | 12   | 7  | Vejbulova 2-par. |  |
| $Q(80\%)$                              | 0,12 | 206  | 182  | 149 | 122 | 99 | 21 | 1,12 | 7  | Vejbulova 2-par. |  |

Tabela 5. Unutargodišnja raspodela maksimalnih neprekidnih trajanja malovodnih perioda (u danima) reke Belice za h.s. Jagodina, za različite reperne protoke sa krive trajanja protoka  $Q(\Theta(\%))$

| A) Prosečne višegodišnje vrednosti maksimalnih trajanja malovodnih perioda (u danima) i njihova procentualna zastupljenost $p$ (%). |         |       |      |      |      |      |      |      |      |      |      |      |      |      |
|---|---------|-------|------|------|------|------|------|------|------|------|------|------|------|------|
| Traj.<br>$\Theta(\%)$   | Prom.   | I     | II   | III  | IV   | V    | VI   | VII  | VIII | IX   | X    | XI   | XII  | GOD  |
| 50%   | Sr. vr. | 1.29  | 1.14 | 0.73 | 0.81 | 1.42 | 3.46 | 10.3 | 18.5 | 19.6 | 16.3 | 11   | 4.41 | 88.9 |
|   | $p$ (%) | 1.45  | 1.28 | 0.82 | 0.92 | 1.6  | 3.89 | 11.6 | 20.8 | 22   | 18.3 | 12.4 | 4.96 | 100  |
| 60%   | Sr. vr. | 0.756 | 0.14 | 0.27 | 0.48 | 0.53 | 2.15 | 7.98 | 14.8 | 17.5 | 13.9 | 7.05 | 2.1  | 67.6 |
|   | $p$ (%) | 1.13  | 1.2  | 0.4  | 0.7  | 0.78 | 3.19 | 11.8 | 21.9 | 25.8 | 20.6 | 10.4 | 2.18 | 100  |
| 70%   | Sr. vr. | 0-70  | 0    | 0.22 | 0.37 | 0.53 | 2.58 | 8.0  | 14.3 | 14.7 | 9.81 | 3.7  | 2.14 | 57.1 |
|   | $p$ (%) | 1.22  | 0    | 0.39 | 0.65 | 0.92 | 4.51 | 14.0 | 25.1 | 25.8 | 17.2 | 6.47 | 3.74 | 100  |
| 80%   | Sr. vr. | 0.54  | 0    | 0    | 0.12 | 0.1  | 1.76 | 7.54 | 12.6 | 11.9 | 7.09 | 3.39 | 1.37 | 46.4 |
|   | $p$ (%) | 1.17  | 0    | 0    | 0.26 | 0.22 | 3.8  | 16.3 | 27.1 | 25.7 | 15.3 | 7.31 | 2.96 | 100  |

B) Kumulativne procentualne zastupljenosti maksimalnih trajanja malovodnih perioda  $\Sigma p(\%)$

| Trajanje<br>$\Theta(\%)$ | I    | II   | III  | IV   | V    | VI   | VII   | VIII  | IX    | X     | XI    | XII |
|--------------------------|------|------|------|------|------|------|-------|-------|-------|-------|-------|-----|
| 50%                      | 1.45 | 2.73 | 3.55 | 4.47 | 6.07 | 9.96 | 21.56 | 42.36 | 64.36 | 82.66 | 95.06 | 100 |
| 60%                      | 1.13 | 2.33 | 2.73 | 3.43 | 4.21 | 7.4  | 19.2  | 41.1  | 66.9  | 87.5  | 97.9  | 100 |
| 70%                      | 1.22 | 1.22 | 1.61 | 2.26 | 3.18 | 7.69 | 21.69 | 46.79 | 72.59 | 89.79 | 96.26 | 100 |
| 80%                      | 1.17 | 1.17 | 1.17 | 1.43 | 1.65 | 5.45 | 21.75 | 48.85 | 74.55 | 89.85 | 97.16 | 100 |



Slika 5. Grafički prikaz integralne krive zastupljenosti maksimalnih trajanja malovodnih perioda (u danima) za različite reperne protote sa krive trajanja protoka  $\Theta(\%)$

Tabela 6. Prikaz intervala poverenja pojave neprekidnih trajanja malovodnih perioda unutar godine (IP od-do u datumima) za h.s. Jagodina na reci Belici

| Intervali poverenja (IP) |       |        |      |        |     |
|--------------------------|-------|--------|------|--------|-----|
| IP-90%                   |       | IP-75% |      | IP-50% |     |
| od                       | do    | od     | do   | od     | do  |
| 6.VI                     | 23.XI | 15.VII | 27.X | 4.VIII | 9.X |

Tabela 7. Kumulativni pregled prosečnih višegodišnjih vrednosti integrala poverenja pojave malovodnih perioda za podsliv Velike Morave

| Br. sliva     | Sliv       |                    | Intervali poverenja (IP) |       |        |       |          |      |
|---------------|------------|--------------------|--------------------------|-------|--------|-------|----------|------|
|               | Reka       | Hidrološka stanica | IP-90%                   |       | IP-75% |       | IP-50%   |      |
|               |            |                    | od                       | do    | od     | do    | od       | do   |
| 1             | Belica     | Jagodina           | 6.VI                     | 23.XI | 15.VII | 27.X  | 4.VIII   | 9.X  |
| 2             | Jasenica   | Donja Šatornja     | 18.III                   | 6.XII | 20.VII | 11.XI | 9.VIII   | 20.X |
| 3             | Jaseniva   | Smed. Palanka      | 9.V                      | 6.XII | 13.VII | 12.XI | 12.VIII  | 17.X |
| 4             | Kubršnica  | Smed. Palanka      | 14.VI                    | 5.XII | 17.VII | 14.XI | 11.VIII  | 21.X |
| 5             | Lepenica   | Batočina/Rogot     | 13.II                    | 7.XII | 8.V    | 15.XI | 29.VII   | 22.X |
| 6             | Lugomir    | Jagodina/Majur     | 5.VII                    | 5.XII | 28.VII | 16.XI | 20.VIII  | 26.X |
| 7             | Ravanica   | Čuprija            | 18.III                   | 2.XII | 26.VI  | 10.XI | 28.VII   | 14.X |
| 8             | Resava     | Manastir Manasija  | 1.VII                    | 8.XII | 25.VII | 18.XI | 14.VIII  | 25.X |
| 9             | Resava     | Svilajnac          | 30.VI                    | 7.XII | 24.VII | 17.XI | 14.VIII  | 25.X |
| 10            | Crnica     | Paraćin            | 29.VI                    | 9.XII | 20.VII | 18.XI | 1,6.VIII | 25.X |
| Datumi pojave | Srednji    |                    | 18.V                     | 23.XI | 8.VII  | 27.X  | 28.VII   | 9.X  |
|               | Najraniji  |                    | 13.II                    | 5.XII | 11.VII | 13.XI | 9.VIII   | 20.X |
|               | Najkasniji |                    | 5.VII                    | 9.XII | 28.VII | 18.XI | 20.VIII  | 26.X |

Na osnovu podataka o maksimalnim trajanjima malovodnih perioda u pojedinim godinama i prikazanih sumarnih krivih zastupljenosti (numerički i grafički), na svim hidrološkim stanicama definisani su intervali poverenja IP-90%, IP-75% i IP-50% unutar kojih se sa navedenim verovatnoćama može očekivati pojave malovodnih perioda. Definisani intervali poverenja predstavljaju prosečne vrednosti prikazanih integralnih krivih za razmatrane reperne protoke.

Kumulativni pregled prosečnih višegodišnjih vrednosti integrala poverenja pojave malovodnih perioda za celu razmatranu teritoriju Republike Srbije, južno od Save i Dunava, dat je u tabeli 8.

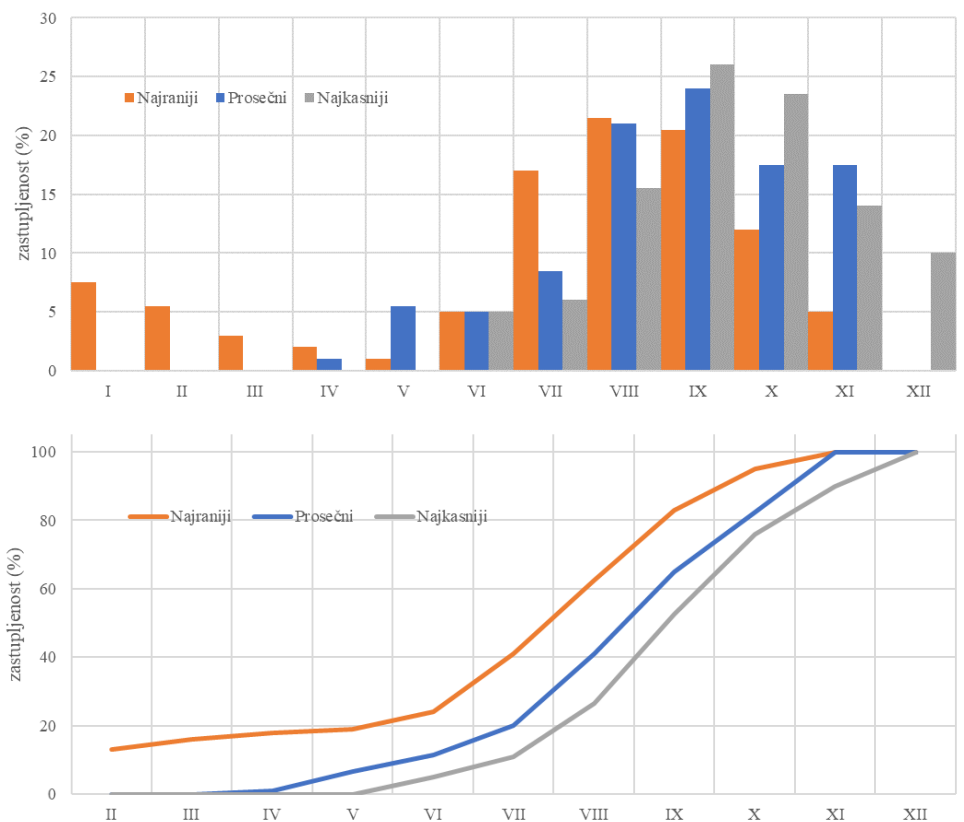
Korišćenjem podataka sa integralnih krivih procentualne zastupljenosti broja malovodnih dana tokom godine, sa svih razmatranih hidroloških stanica, sračunata je prosečna (osrednjena) kriva za celu teritoriju Srbije. Na osnovu podataka o najranijoj i najkasnijoj pojavi malovodnih perioda, na hidrološkim stanicama formirane su ekstremne integralne krive. Diferenciranjem ovih krivih dobijene su unutargodišnje raspodele procentualne zastupljenosti maksimalnih trajanja malovodnih perioda (procentualno i kumulativno) za razmatrani deo teritorije Republike Srbije i to za prosečni, najraniji i najkasniji datum pojave malovodnih perioda. Ovi rezultati prikazani su numerički u tabeli 9 i grafički na slici 6.

Tabela 8. Prosečne višegodišnje vrednosti početka i kraja pojave malovodnih perioda za različite intervale poverenja po slivovima i za celu teritoriju Republike Srbije južno od Save i Dunava

| Br. sliva    | Sliv           | Intervali poverenja (IP) |        |        |       |         |       |
|--------------|----------------|--------------------------|--------|--------|-------|---------|-------|
|              |                | IP-90%                   |        | IP-75% |       | IP-50%  |       |
|              |                | od                       | do     | od     | do    | od      | do    |
| 1            | Velika Morava  | 18.V                     | 23.XI  | 8.VII  | 27.X  | 28.VIII | 9.X   |
| 2            | Drina          | 26.V                     | 1.XI   | 11.VII | 8.XI  | 6.VIII  | 17.X  |
| 3            | Dunav          | 3.VI                     | 21.XI  | 6.VII  | 24.XI | 31.VII  | 7.X   |
| 4            | Egej           | 11.VI                    | 30.XI  | 11.VII | 7.XI  | 8.VIII  | 14.X  |
| 5            | Zapadna Morava | 11.IV                    | 1.XII  | 30.VI  | 11.X  | 6.VIII  | 18.X  |
| 6            | Južna Morava   | 4.V                      | 2.XII  | 10.VII | 9.XI  | 6.VIII  | 17.X  |
| 7            | Kolubara       | 18.IV                    | 27.XI  | 9.VII  | 1.XI  | 4.VIII  | 17.X  |
| 8            | Nišava         | 15.V                     | 3.XII  | 11.VII | 12.XI | 10.VIII | 19.X  |
| 9            | Timok          | 15.VI                    | 27.XI  | 15.VII | 4.XI  | 3.VIII  | 20.X  |
| 10           | Toplica        | 24.VI                    | 27.XI  | 21.VII | 8.XI  | 12.VIII | 14.X  |
| Datum pojave | Srednji        | 21.V                     | 15.XI  | 10.VII | 5.XI  | 10.VIII | 15.X  |
|              | Najraniji      | 19.I                     | 30.X   | 16.II  | 5.X   | 2.VII   | 21.IX |
|              | Najkasniji     | 2.VII                    | 15.XII | 6.VIII | 23.XI | 22.VIII | 27.XI |

Tabela 9. Unutargodišnja i kumulativna raspodela zastupljenosti maksimalnih trajanja malovodnih perioda za razmatrani deo teritorije Republike Srbije – za prosečni, najraniji i najkasniji datum pojave

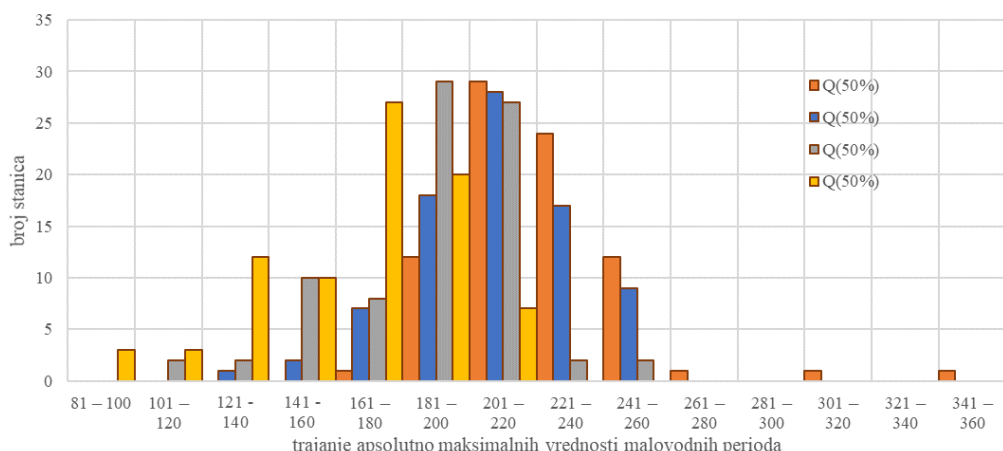
| Datum pojave | Zastupljenost (%)                 | I   | II  | III | IV | V   | VI   | VII | VIII | IX   | X    | XI   | XII |
|--------------|-----------------------------------|-----|-----|-----|----|-----|------|-----|------|------|------|------|-----|
| Prosečni     | Po mesecima                       | 0   | 0   | 0   | 1  | 5.5 | 5    | 8.5 | 21   | 24   | 17.5 | 17.5 | 0   |
|              | Od početka godine do kraja meseca | 0   | 0   | 0   | 1  | 6.5 | 11.5 | 20  | 41   | 65   | 82.5 | 100  | 100 |
| Najraniji    | Po mesecima                       | 7.5 | 5.5 | 3   | 2  | 1   | 5    | 17  | 21.5 | 20.5 | 12   | 5    | 0   |
|              | Od početka godine do kraja meseca | 7.5 | 13  | 16  | 18 | 19  | 24   | 41  | 62.5 | 83   | 95   | 100  | 100 |
| Najkasniji   | Po mesecima                       | 0   | 0   | 0   | 0  | 0   | 5    | 6   | 15.5 | 26   | 23.5 | 14   | 10  |
|              | Od početka godine do kraja meseca | 0   | 0   | 0   | 0  | 0   | 5    | 11  | 26.5 | 52.5 | 76   | 90   | 100 |



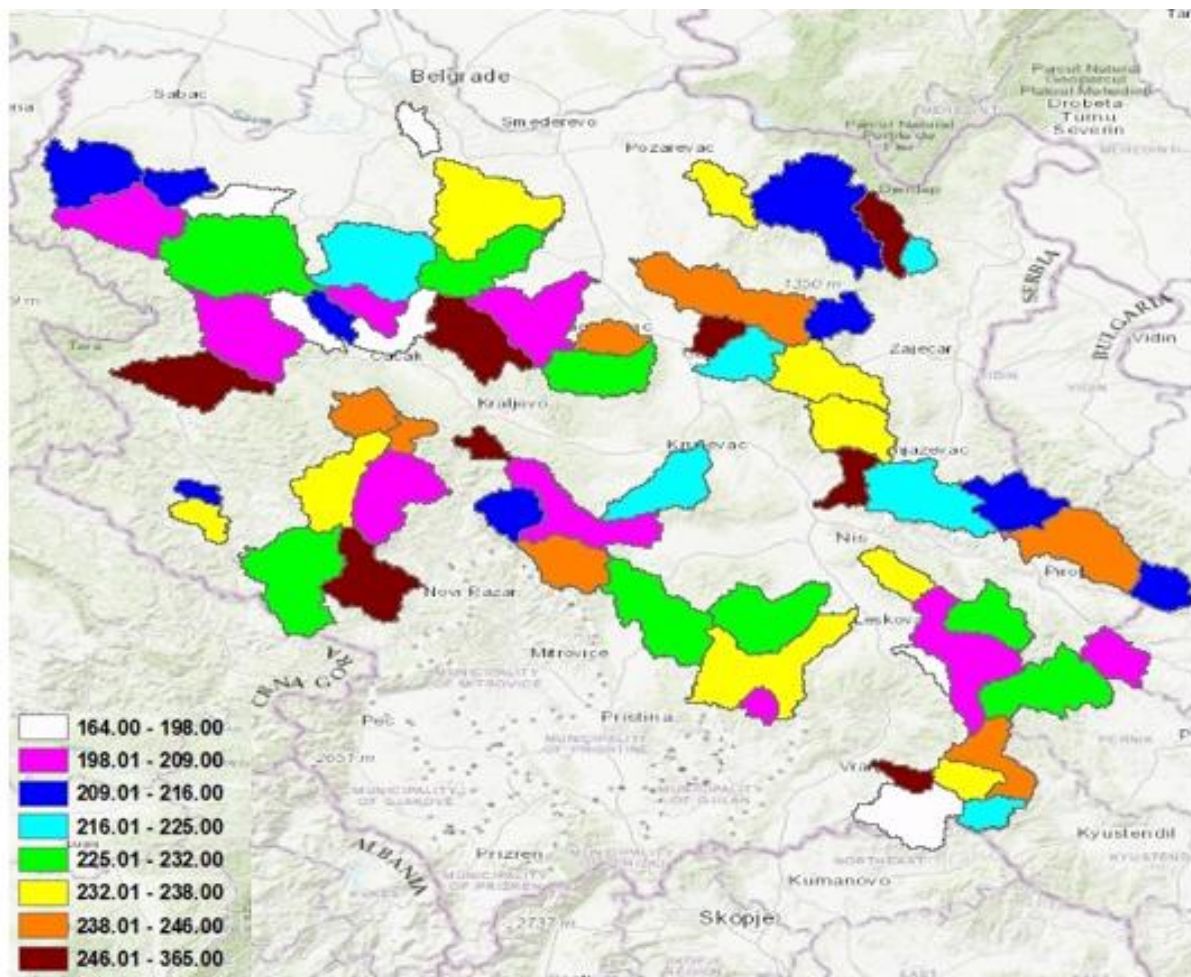
Slika 6. Zastupljenost maksimalnih trajanja malovodnih perioda (po mesecima i kumulativno) za razmatrani deo teritorije Republike Srbije teritoriji Srbije - za prosečni, najraniji i najkasniji datum pojave

Tabela 10. Broj hidroloških stanica sa pojmom apsolutno najdužih maksimalnih trajanja malovodnih perioda za reperne protoke karakterističnih trajanja

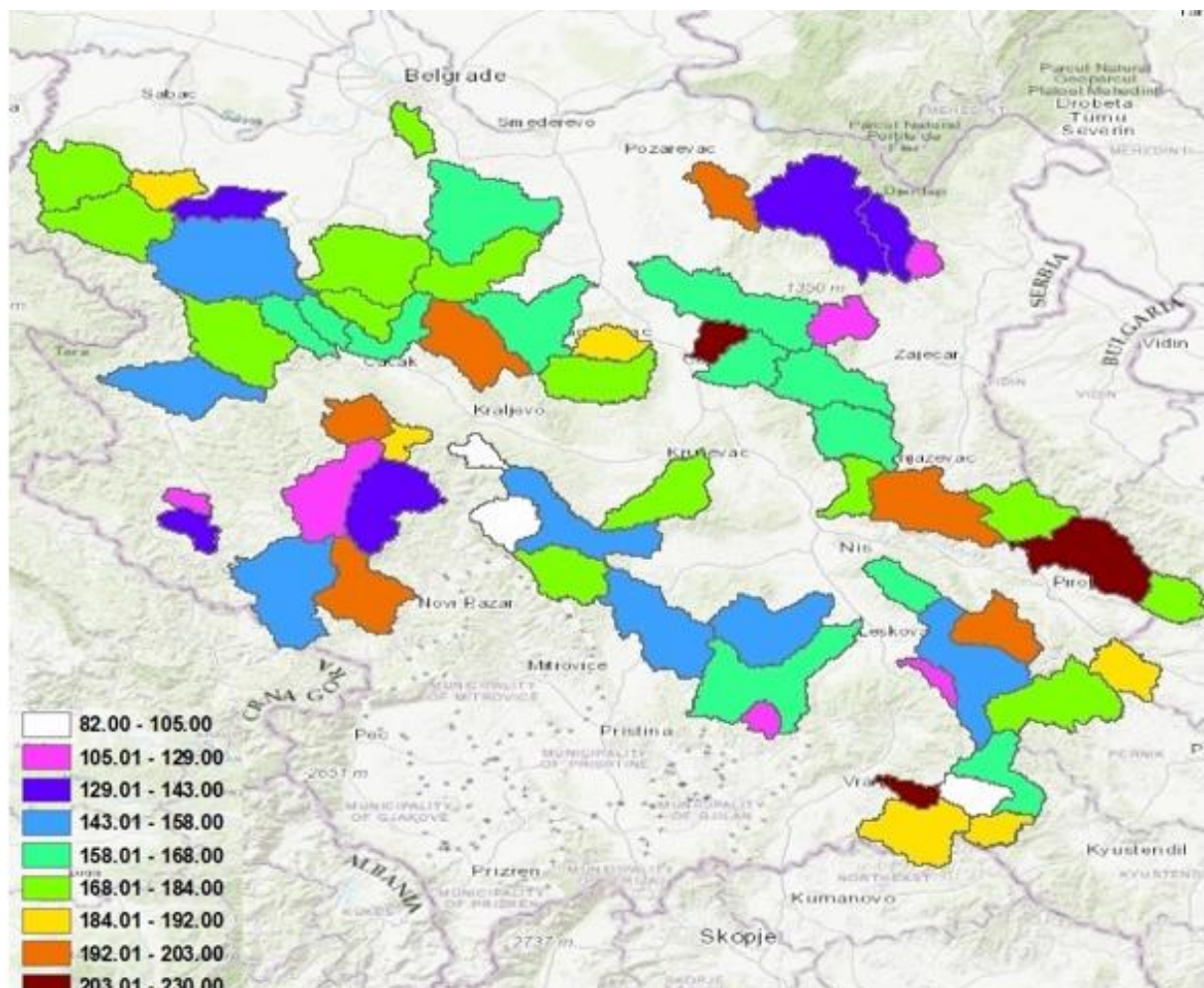
| Dužina trajanja<br>(dana) | Broj hidroloških stanica     |        |        |        |
|---------------------------|------------------------------|--------|--------|--------|
|                           | Reperni protoci $\Theta$ (%) |        |        |        |
|                           | Q(50%)                       | Q(50%) | Q(50%) | Q(50%) |
| 81–100                    |                              |        |        | 3      |
| 101–120                   |                              |        | 2      | 3      |
| 121–140                   |                              | 1      | 2      | 12     |
| 141–160                   |                              | 2      | 10     | 10     |
| 161–180                   | 1                            | 7      | 8      | 27     |
| 181–200                   | 12                           | 18     | 29     | 20     |
| 201–220                   | 29                           | 28     | 27     | 7      |
| 221–240                   | 24                           | 17     | 2      |        |
| 241–260                   | 12                           | 9      | 2      |        |
| 261–280                   | 1                            |        |        |        |
| 281–300                   |                              |        |        |        |
| 301–320                   | 1                            |        |        |        |
| 321–340                   |                              |        |        |        |
| 341–360                   | 1                            |        |        |        |
| >361                      | 1                            |        |        |        |
| Prosečno trajanje         | 224                          | 208    | 189    | 165    |
| Najduže trajanje          | 365                          | 257    | 255    | 220    |
| Najkraće trajanje         | 185                          | 122    | 108    | 82     |



Slika 7. Broj razmatranih hidroloških stanica na kojima su registrovana apsolutno najduža maksimalna trajanja malovodnih perioda za reperne protoke karakterističnih trajanja



Slika 8. Prostorni prikaz broja dana apsolutno najdužih maksimalnih trajanja malovodnih perioda za reperne protoke trajanja 50% na razmatranim slivovima na teritoriji Republike Srbije južno od Save i Dunava



Slika 9. Prostorni prikaz broja dana absolutno najdužih maksimalnih trajanja malovodnih perioda za reperne protoke trajanja 80% na razmatranim slivovima na teritoriji Republike Srbije južno od Save i Dunava

U proseku, maksimalne dužine neprekidnih trajanja malovodnih perioda na razmatranom delu teritorije Republike Srbije mogu se pojaviti sredinom aprila i trajati do sredine novembra. Najraniji datumi pojave maksimalne dužine neprekidnih trajanja malovodnih perioda pojavljuju se u periodu od početka januara do polovine novembra. Međutim, najkasniji datumi pojave maksimalne dužine neprekidnih trajanja malovodnih perioda počinju u periodu od sredine maja do sredine decembra meseca. Ove karakteristike mogu biti veoma bitne sa gledišta vodoprivrede u celini, a posebno sa aspekta poljoprivrede, vodosnabdevanja i hidroenergetike.

Takođe, za potrebe vodoprivrede je interesantna distribucija broja hidroloških stanica u funkciji dužina

trajanja absolutno najdužih malovodnih perioda i vrednosti repernih protoka. Tako, na primer, u tabeli 10 prikazan je broj hidroloških stanica sa pojavom absolutno maksimalnih dužina trajanja malovodnih perioda, za razmatrane vrednosti repernog protoka  $Q(\Theta\%)$ , a za celu razmatranu teritoriju Republike Srbije.

Grafički prikaz broja hidroloških stanica na kojima su registrovana absolutno najduža maksimalna trajanja malovodnih perioda za reperne protoke karakterističnih trajanja za čitavu razmatranu teritoriju Republike Srbije, prikazan je na slici 7.

Prostorne raspodele broja dana absolutno najdužih maksimalnih trajanja malovodnih perioda za reperne

protoke  $Q(50\%)$  i  $Q(80\%)$  na razmatranim slivovima na teritoriji Republike Srbije južno od Save i Dunava, date su na slikama 8 i 9.

Sa gledišta prostornog rasporeda broja dana absolutno najdužih maksimalnih trajanja malovodnih perioda na razmatranim slivovima na teritoriji Republike Srbije, takođe se uočava veoma izražena prostorna heterogenost u vrednostima broja dana absolutno najdužih maksimalnih trajanja malovodnih perioda za sve razmatrane reperne protoke.

Sa ciljem sagledavanja mogućeg raspona pojave računskih vrednosti maksimalnih dužina neprekidnih trajanja malovodnih perioda za različite verovatnoće pojave –  $D(T)_{max}(p)$  (npr. podaci iz tabele 4 za h.s. Jagodina na r. Belici), definisane su specijalne zavisnosti neprekidnog trajanja malovodnih perioda  $T_{max}(\tilde{p})$  u funkciji njihove verovatnoće pojave  $p$  i združene verovatnoće  $\tilde{p}$ . Korišćenjem računskih vrednosti maksimalnih dužina neprekidnih trajanja malovodnih perioda  $D(T)_{max}(p)$  za unapred usvojenu verovatnoću  $p$ , usvojena je po jedna vrednost za svaku hidrološku stanicu i to za svako trajanje  $\Theta(\%)$  repernog protoka. Na taj način formirane su nove serije  $T_{max,\Theta(\%)}$  ( $p = \text{const}$ ), koje su takođe slučajne. Ukupan broj podataka u ovim serijama jednak je broju obrađenih (obuhvaćenih hidroloških stanica). Primenom navedenih teorijskih raspodela određene su nove računske vrednosti ukupnih trajanja malovodnih perioda –  $T_{max}(\tilde{p})$ . Ove raspodele su urađene za verovatnoće pojave  $p = 1\%, 2\%, 5\%, 10\%; 50\%, 80\%, 90\%$  i  $95\%$ . Za te nove serije istim postupkom određene su računske vrednosti maksimalnih ukupnih trajanja malovodnih perioda u danima –  $T_{max}(\tilde{p})$  za verovatnoće pojave  $\tilde{p} = 1\%, 2\%, 5\%, 10\%; 50\%, 80\%, 90\%$  i  $95\%$ , koje se odnose na celu teritoriju Republike Srbije južno od Save i Dunava.

Analognom procedurom sračunate su računske vrednosti absolutno najdužih trajanja, koje su određene za sva trajanja  $\Theta(\%)$  repernih protoka, a na osnovu jednog podatka za svaku hidrološku stanicu. Na taj način dobijene su računske vrednosti verovatnoće absolutno najdužih trajanja malovodnih perioda  $T_{aps,max}(p)$  za sve razmatrane reperne protoke.

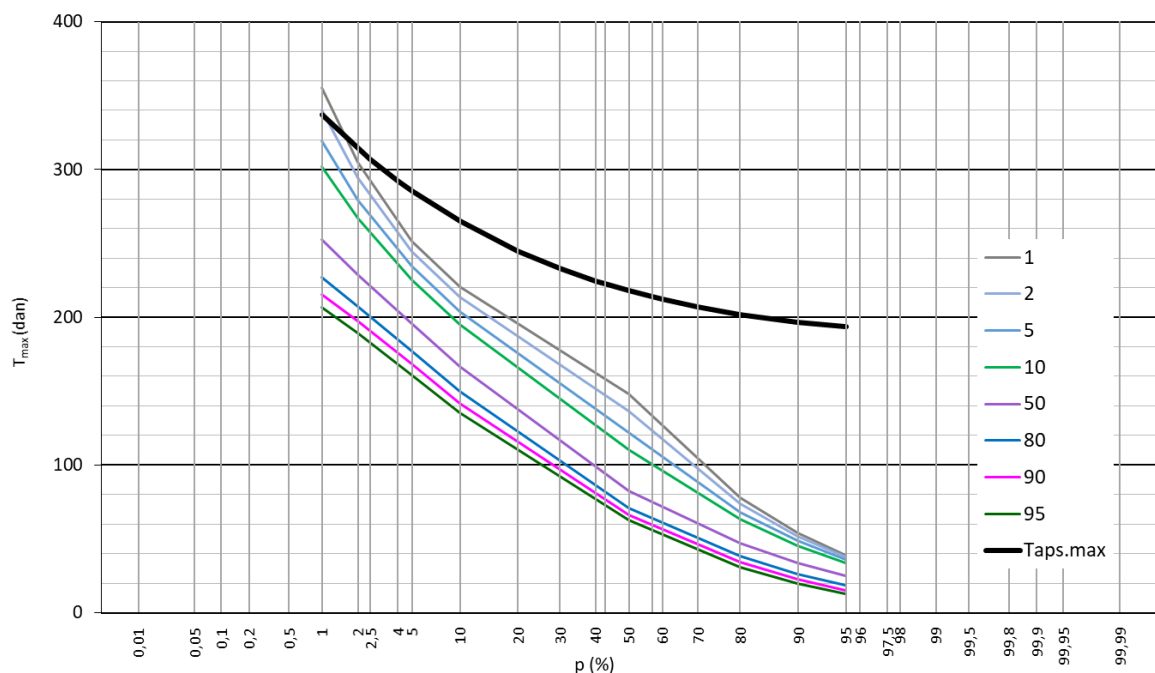
Definisane specijalne zavisnosti neprekidnog trajanja malovodnih perioda  $T_{max}(\tilde{p})$  u funkciji određenog traj-

nja teorijskih vrednosti verovatnoće  $p$  i združene verovatnoće  $\tilde{p}$ , kao i računske vrednosti verovatnoće absolutno najdužih trajanja malovodnih perioda na teritoriji Srbije južno od Save i Dunava, prikazane su grafički na slikama 10–13 i numerički u tabeli 11.

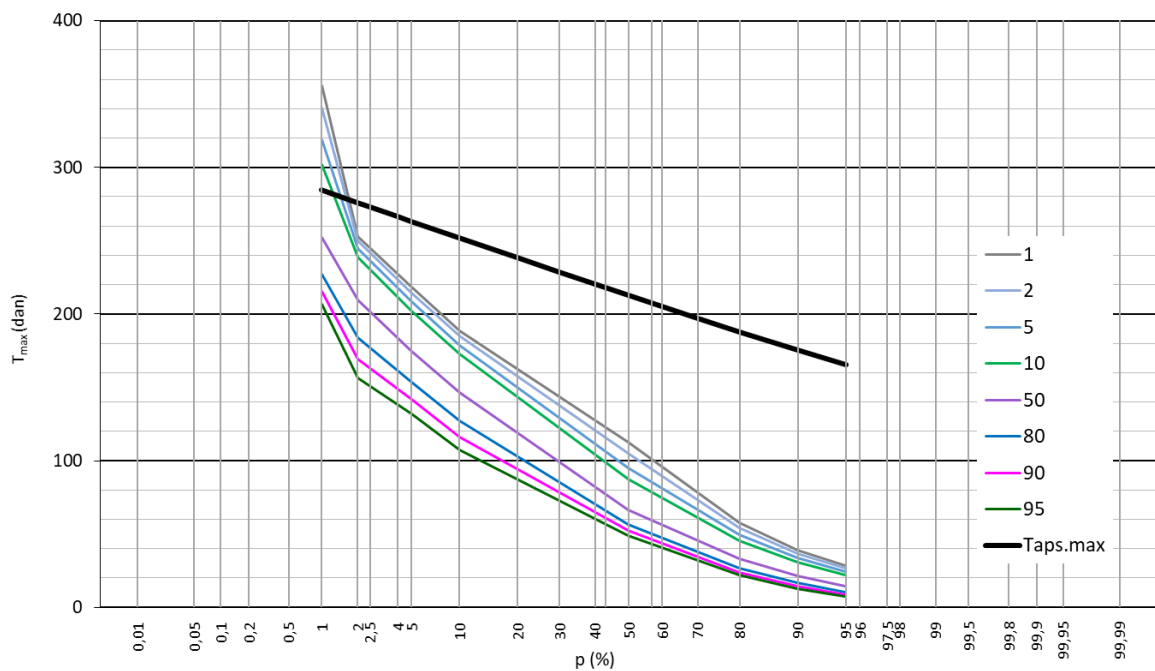
Poređenjem računskih vrednosti maksimalnih ukupnih trajanja malovodnih perioda  $T_{max}(\tilde{p})$  i računskih vrednosti absolutno maksimalnih trajanja malovodnih perioda na hidrološkim stanicama, konstatuje se da je samo za reperni protok  $Q(50\%)$  računska vrednost stogodišnjeg protoka absolutnog maksimuma veća od odgovarajuće teorijske vrednosti kumulativnog maksimalnog trajanja malovodnih perioda. U svim ostalim razmatranim slučajevima verovatnoće pojave  $p$ , računske vrednosti absolutno maksimalnih trajanja malovodnih perioda veće su od odgovarajućih teorijskih vrednosti maksimalnog ukupnog trajanja. Za ostale reperne protoke ovakav zaključak važi samo za verovatnoće pojave  $p < 1,5\%$  za  $Q(60\%)$ , zatim  $p < 2,5\%$  za  $Q(70\%)$  i  $p < 3,0\%$  za  $Q(80\%)$ .

Prikazani rezultati računskih vrednosti maksimalnih ukupnih trajanja malovodnih perioda ukazuju na njenu veliku prostornu heterogenost. Tako, na primer, za reperni protok  $Q(50\%)$ , stogodišnje maksimalno trajanje malovodnih perioda na teritoriji Republike Srbije južno od Save i Dunava, kreće se u intervalu od 355 dana za verovatnoću  $\tilde{p} = 1,0\%$ , do 39 dana za verovatnoću  $\tilde{p} = 95\%$ . Sa poverenjem od 90%, stogodišnje maksimalno trajanje malovodnih perioda na razmatranoj teritoriji Republike Srbije može se očekivati u intervalu od 252 dana za verovatnoću  $\tilde{p} = 1,0\%$ , do 39 dana za verovatnoću  $\tilde{p} = 95\%$ .

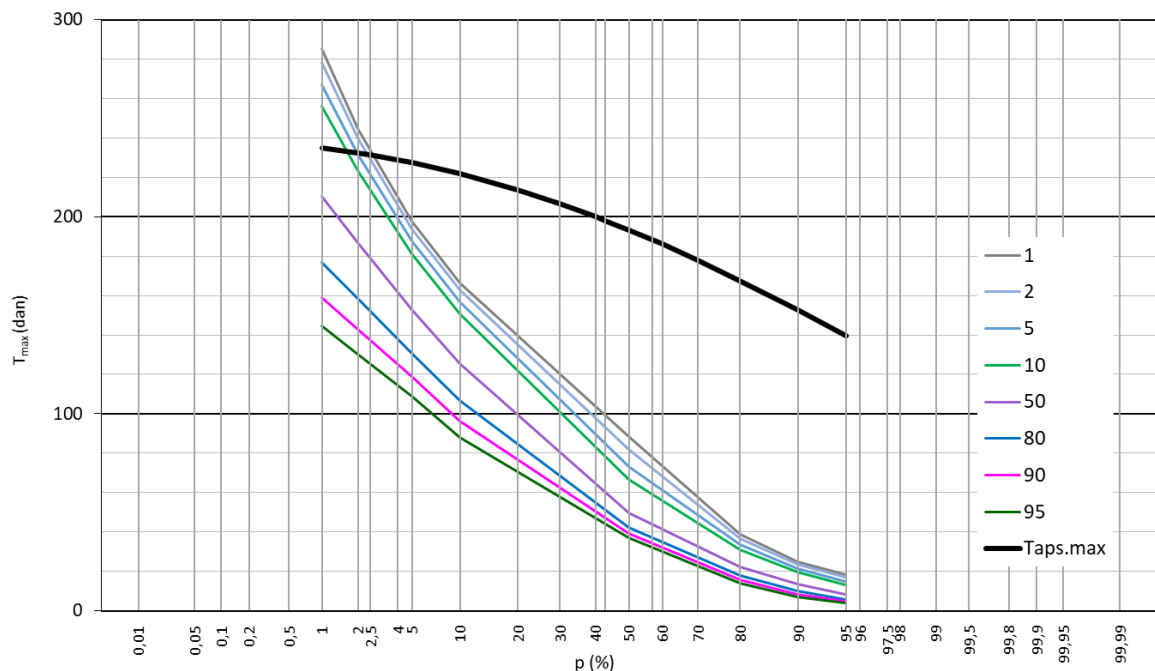
Za reperni protok  $Q(80\%)$ , stogodišnje maksimalno trajanje malovodnih perioda na teritoriji Republike Srbije južno od Save i Dunava, kreće se u intervalu od 289 dana za verovatnoću  $\tilde{p} = 1,0\%$ , do 10 dana za verovatnoću  $\tilde{p} = 95\%$ . Sa poverenjem od 90%, stogodišnje maksimalno trajanje malovodnih perioda na razmatranoj teritoriji Republike Srbije može se očekivati u intervalu od 188 dana za verovatnoću  $\tilde{p} = 1,0\%$ , do 10 dana za verovatnoću  $\tilde{p} = 95\%$ . I za ostale verovatnoće  $\tilde{p}$  dobijaju se veoma slični rezultati.



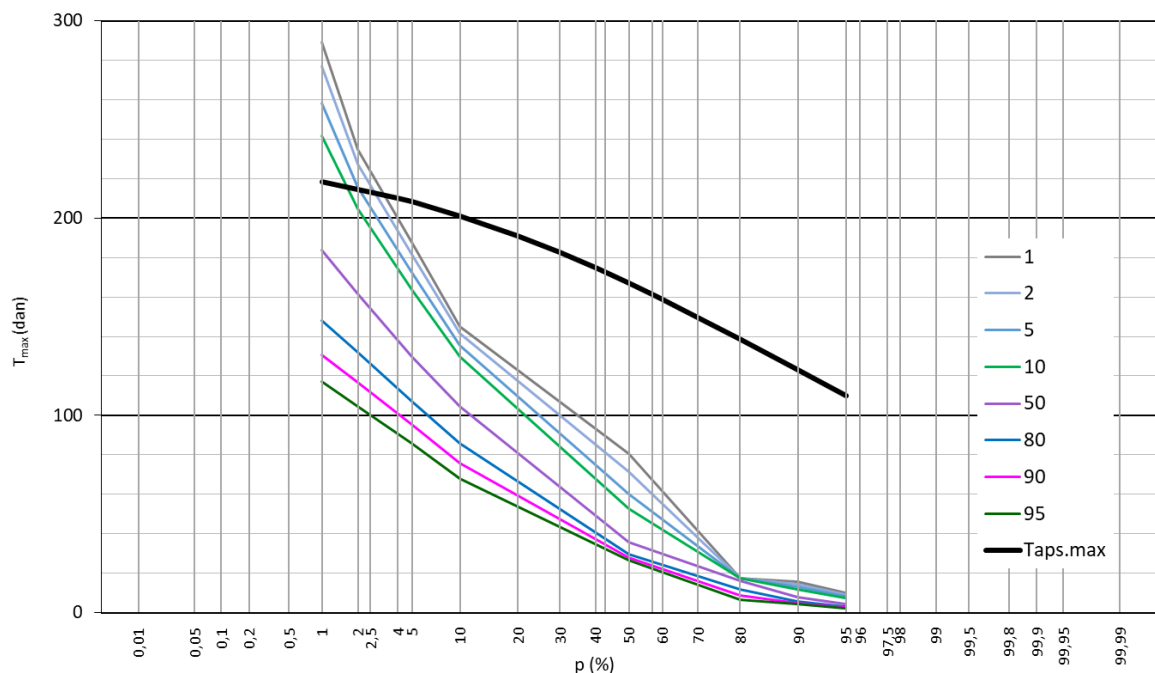
Slika 10. Računska maksimalna ukupna trajanja malovodnih perioda  $T_{max} (\tilde{p})$  (dan) karakterističnih verovatnoća  $p(%)$  na hidrološkim stanicama za reperne protoke  $Q(50\%)$



Slika 11. Računska maksimalna ukupna trajanja malovodnih perioda  $T_{max} (\tilde{p})$  (dan) karakterističnih verovatnoća  $p(%)$  na hidrološkim stanicama za reperne protoke  $Q(60\%)$



Slika 12. Računska maksimalna ukupna trajanja malovodnih peroda  $T_{max} (\tilde{p})$  (dan) karakterističnih verovatnoća  $p$  (%) na hidrološkim stanicama za reperne protoke  $Q(70\%)$



Slika 13. Računska maksimalna ukupna trajanja malovodnih peroda  $T_{max} (\tilde{p})$  (dan) karakterističnih verovatnoća  $p$  (%) na hidrološkim stanicama za reperne protoke  $Q(80\%)$

Tabela 11. Vrednosti ukupnih maksimalnih trajanja malovodnih perioda  $T_{max}$  ( $\tilde{p}$ ) (dan) za karakteristične verovatnoće maksimalnih trajanja malovodnih perioda  $p(\%)$  na hidrološkim stanicama za reperne protoke  $Q(\Theta)$

| Reperni protok trajanja $\Theta(\%)$ | Verovatnoća $\tilde{p}$ (%) | Verovatnoća $p$ (%) |     |     |     |     |      |     |     |
|--------------------------------------|-----------------------------|---------------------|-----|-----|-----|-----|------|-----|-----|
|                                      |                             | 1                   | 2   | 5   | 10  | 50  | 80   | 90  | 95  |
| $Q(50\%)$                            | 1                           | 355                 | 340 | 319 | 302 | 252 | 227  | 216 | 207 |
|                                      | 2                           | 325                 | 294 | 275 | 267 | 229 | 207  | 197 | 189 |
|                                      | 5                           | 252                 | 245 | 234 | 225 | 196 | 177  | 168 | 161 |
|                                      | 10                          | 221                 | 214 | 204 | 195 | 167 | 150  | 142 | 135 |
|                                      | 50                          | 148                 | 137 | 122 | 111 | 83  | 71   | 66  | 63  |
|                                      | 80                          | 79                  | 74  | 68  | 63  | 47  | 38   | 34  | 31  |
|                                      | 90                          | 54                  | 52  | 49  | 45  | 34  | 26   | 23  | 20  |
|                                      | 95                          | 39                  | 38  | 36  | 334 | 26  | 19   | 15  | 13  |
|                                      | $T_{aps,max}$               | 337                 | 314 | 286 | 265 | 218 | 202  | 197 | 194 |
|                                      |                             |                     |     |     |     |     |      |     |     |
| $Q(60\%)$                            | 1                           | 285                 | 282 | 275 | 268 | 233 | 204  | 187 | 172 |
|                                      | 2                           | 253                 | 250 | 245 | 239 | 209 | 184  | 169 | 157 |
|                                      | 5                           | 218                 | 214 | 208 | 202 | 175 | 154  | 142 | 132 |
|                                      | 10                          | 188                 | 185 | 179 | 173 | 147 | 1127 | 112 | 107 |
|                                      | 50                          | 112                 | 105 | 95  | 87  | 66  | 56   | 52  | 49  |
|                                      | 80                          | 57                  | 54  | 49  | 45  | 33  | 27   | 24  | 22  |
|                                      | 90                          | 39                  | 37  | 33  | 31  | 22  | 17   | 14  | 12  |
|                                      | 95                          | 28                  | 27  | 25  | 22  | 14  | 10   | 8.5 | 7.1 |
|                                      | $T_{aps,max}$               | 284                 | 276 | 263 | 252 | 213 | 188  | 175 | 165 |
|                                      |                             |                     |     |     |     |     |      |     |     |
| $Q(70\%)$                            | 1                           | 285                 | 278 | 267 | 255 | 210 | 177  | 159 | 145 |
|                                      | 2                           | 245                 | 240 | 232 | 223 | 186 | 158  | 143 | 130 |
|                                      | 5                           | 198                 | 194 | 187 | 181 | 153 | 131  | 113 | 109 |
|                                      | 10                          | 166                 | 163 | 157 | 151 | 126 | 107  | 96  | 88  |
|                                      | 50                          | 89                  | 82  | 73  | 67  | 50  | 42   | 39  | 37  |
|                                      | 80                          | 39                  | 37  | 33  | 31  | 22  | 18   | 16  | 14  |
|                                      | 90                          | 25                  | 24  | 22  | 20  | 13  | 10   | 8.3 | 7.1 |
|                                      | 95                          | 18                  | 17  | 15  | 13  | 8.4 | 5.7  | 4.6 | 3.8 |
|                                      | $T_{aps,max}$               | 235                 | 232 | 227 | 222 | 193 | 168  | 153 | 140 |
|                                      |                             |                     |     |     |     |     |      |     |     |
| $Q(80\%)$                            | 1                           | 289                 | 277 | 258 | 242 | 184 | 148  | 131 | 117 |
|                                      | 2                           | 235                 | 227 | 216 | 205 | 161 | 132  | 117 | 105 |
|                                      | 5                           | 188                 | 182 | 172 | 164 | 130 | 107  | 95  | 86  |
|                                      | 10                          | 145                 | 142 | 136 | 130 | 105 | 86   | 76  | 68  |
|                                      | 50                          | 81                  | 71  | 65  | 52  | 36  | 30   | 28  | 26  |
|                                      | 80                          | 17                  | 17  | 17  | 17  | 16  | 12   | 8.7 | 6.3 |
|                                      | 90                          | 16                  | 14  | 13  | 12  | 7.7 | 5.8  | 4.9 | 4.3 |
|                                      | 95                          | 9.9                 | 9.2 | 8.1 | 7.2 | 4.5 | 3.0  | 2.5 | 2.0 |
|                                      | $T_{aps,max}$               | 218                 | 215 | 208 | 201 | 167 | 139  | 123 | 110 |
|                                      |                             |                     |     |     |     |     |      |     |     |

#### 4. ZAKLJUČAK

Primenjena metodologija analize malih voda na teritoriji Republike Srbije južno od Save i Dunava predstavlja jedan sasvim nov prilaz definisanju najznačajnijih karakteristika malih voda, bitnih sa stanovišta vodosnabdevanja, zaštite kvaliteta voda, navodnjavanja i proizvodnje hidroenergije, a koji do sada nije primenjivan u našoj hidrološkoj praksi i šire. Uvedena je jedna sveobuhvatna analiza koja polazi od pregleda učestalosti specifičnog oticaja minimalnog srednjeg mesečnog protoka obezbeđenosti 95% i srednjegodišnjih protoka

verovatnoće 10%, i njihove prostorne raspodele na teritoriji Republike Srbije, kao najbitnijih kvantitativnih pokazatelja koji se najčešće koriste u našoj zemlji kao podloga pri projektovanju većine vodoprivrednih i hidrotehničkih objekata, a pre svega za ocenu „minimalnog održivog protoka“. Posebna pažnja je posvećena analizi maksimalnih dužina neprekidnog trajanja malovodnih perioda ispod unapred definisanih repernih protoka sa prosečnih višegodišnjih krivih trajanja dnevnih protoka. Sprovedena je analiza unutargodišnje raspodele malovodnih perioda za različite reperne protoke, njihova procentualna zastupljenost i definisani

su intervali poverenja koji omogućuju sagledavanja raspona pojave malih voda (od–do u datumima), sa unapred definisanim verovatnoćama pojave. Osim toga, analiziran je i prostorni raspored broja dana absolutno najdužih maksimalnih trajanja malovodnih perioda za reperne protoke trajanja 50% i 80%.

Detaljniji rezultati koji su prikazani u ovom radu dati su samo za h.s. Jagodina na reci Belici, a intervali poverenja pojave malovodnih perioda dati su po hidrološkim stanicama samo za podsliv Velike Morave i kumulativni su za sve razmatrane podslivove za celu teritoriju Republike Srbije, južno od Save i Dunava.

Zaključeno je da postoji velika prostorna heterogenost u formiraju merodavnih malih voda na teritoriji Republike Srbije južno od Save i Dunava, odnosno njihovih karakteristika koje se najčešće koriste za ocenu „minimalno održivog protoka“. Po absolutnim vrednostima navedenih modula oticaja, veću neravnomernost pokazuju moduli minimalnog srednjeg mesečnog protoka obezbeđenosti 95% u odnosu na module srednjih godišnjih protoka verovatnoće 10%.

Sličan zaključak može se izvesti i sa gledišta prostornog rasporeda broja dana absolutno najdužih maksimalnih trajanja malovodnih perioda na razmatranim slivovima na teritoriji Republike Srbije. Evidentno je da se uočava veoma izražena prostorna heterogenost u vrednostima broja dana absolutno najdužih maksimalnih trajanja malovodnih perioda za sve razmatrane reperne protoke.

Generalni zaključak je da za sve razmatrane reperne protoke na razmatranoj teritoriji Republike Srbije postoji velika prostorna heterogenost u formiraju malovodnih perioda, kako po datumima pojave, tako i po računskim vrednostima ukupnih i absolutno najdužih maksimalnih trajanja i po karakteru njihove unutarnje raspodele.

Detaljan prikaz svih ovih karakteristika po profilima razmatranih hidroloških stanica biće dat u budućoj

monografiji „Prosečni protoci i male vode na srednjim i malim slivovima Srbije“, čija je izrada u toku.

## LITERATURA

- [1] Institut za vodoprivredu „Jaroslav Černi“, Republički hidrometeorološki zavod Srbije: monografija „Prosečni protoci i male vode na srednjim i malim slivovima Srbije“, izrada u toku.
- [2] Prohaska S.: *Hidrologija I deo*, Rudarsko-geološki fakultet, Institut za vodoprivredu „Jaroslav Černi“, RHMZ Srbije, str. 1–504, Beograd, 2003.
- [3] Prohaska S.: Hidrološke karakteristike vodnih tokova od značaja za njihovo uređenje od poplava, II deo - Male vode, *Vodoprivreda* br. 159–160, str. 29–36, 1996.
- [4] Prohaska S., Ristić V., Srna P.: Merodavne male vode Srbije sa aspekta zaštite vodotoka, „Zaštita voda '96“, str. 15–21, Ulcinj, 1996.
- [5] Prohaska S., Plavšić J., Ćatović S., Bartoš Divac V., Prohaska O., Pavlović D., Marjanović S., Ilić A.: Najnovija sveobuhvatna analiza malih voda na teritoriji Republike Srbije južno od Save i Dunava, 50. konferencija o aktuelnim temama korišćenja i zaštite voda “Voda 2021”, Srpsko društvo za zaštitu voda, str. 49–56, 2021.
- [6] Prohaska S., Plavšić J., Ćatović S., Bartoš Divac V., Prohaska O., Ilić A., Marjanović S., Pavlović D.: Maksimalna trajanja malovodnih perioda na malim i srednjim slivovima Srbije, 19. savetovanje SDHI i SDH, Beograd, 2021.
- [7] Prohaska S., Plavšić J., Ćatović S., Bartoš Divac V., Prohaska O., Ilić A., Marjanović S., Pavlović D.: Prostorni raspored osnovnih karakteristika malih voda na teritoriji Republike Srbije, 19. savetovanje SDHI i SDH, Beograd, 2021.

## COMPREHENSIVE ANALYSIS OF LOW FLOWS IN SMALL AND MEDIUM SERBIAN WATERSHEDS SOUTH OF THE SAVA AND THE DANUBE RIVERS

by

Stevan PROHASKA<sup>1</sup>, Jasna PLAVŠIĆ<sup>2</sup>, Samir ĆATOVIĆ<sup>3</sup>, Vladislava BARTOŠ DIVAC<sup>1</sup>, Ognjen PROHASKA<sup>1</sup>, Aleksandra ILIĆ<sup>4</sup>, Srđan MARJANOVIĆ<sup>3</sup>, Dragutin PAVLOVIĆ<sup>2</sup>

<sup>1</sup> Institut za vodoprivredu „Jaroslav Černi“, Beograd

<sup>2</sup> Univerzitet u Beogradu – Građevinski fakultet

<sup>3</sup> Republički hidrometeorološki zavod Srbije, Beograd

<sup>4</sup> Univerzitet u Nišu – Građevinsko-arhitektonski fakultet

### Summary

This paper presents main results of a comprehensive analysis of low flows on the territory of the Republic of Serbia, south of the Sava and the Danube rivers. The results are a part of the forthcoming book on “Mean and low flows in small and medium watersheds in Serbia”, which is under development. The book is being produced jointly by the “Jaroslav Černi” Institute for Water Resources Management and Republic Hydrometeorological Service of Serbia with participation of the University of Belgrade – Faculty of Civil Engineering and University of Niš – Faculty of Civil Engineering and Architecture. The analysis deals with the quantitative characteristics of low flows that are commonly used for design in various water management and hydraulic engineering projects, but are also a starting point in estimating the “minimum sustainable flow”, which is, according to the current Water Act, the minimum flow in the rivers needed for maintaining the biocenosis and for satisfying the demands of downstream users. The main outcomes of the comprehensive low flow analysis presented in this

paper are the long-term mean flow, duration of daily flows and probability of exceedance of minimum mean monthly flows. Additionally, special attention is given to quantitative indices of length of intervals with flow below the specified thresholds, taken from the flow duration curve. A new approach applied includes, beside a classical statistical analysis of annual minima and mean monthly minima, a comprehensive analysis of continuous duration of low flows below the specified thresholds and their seasonal distribution. Basic data from 82 hydrological stations in small and medium-sized watersheds within Serbia south of the Danube and the Sava rivers are provided by Republic Hydrometeorological Service. All available data on daily and absolute annual minimum flows from the start of operation and 2018 are used in the analysis.

**Key words:** low flows, annual minimum flows, minimum mean monthly flows, low flow thresholds, low flow duration, statistical analysis

Redigovano 3.9.2021.